

Tabla 6.1: Resultados obtenidos por el

	Iris				Ec	
	<i>Tasa_C</i>	<i>Tasa_inf</i>	<i>Agr.</i>	<i>T</i>	<i>Tasa_C</i>	<i>Tasa_inf</i>
Ejecución 1	0,30	402,00	2,55	4,69	7,47	1715,00
Ejecución 2	0,30	413,00	2,61	4,68	7,53	1690,00
Ejecución 3	0,30	419,00	2,64	4,70	7,51	1706,00
Ejecución 4	0,29	417,00	2,62	4,67	7,45	1707,00
Ejecución 5	0,30	397,00	2,52	4,76	7,45	1690,00
Media	0,29	409,60	2,58	4,70	7,48	1701,60

Tabla 6.3: Resultados obtenidos por el

	Iris				Ec	
	<i>Tasa_C</i>	<i>Tasa_inf</i>	<i>Agr.</i>	<i>T</i>	<i>Tasa_C</i>	<i>Tasa_inf</i>
Ejecución 1	0,28	401,00	2,53	4,75	7,48	1697,00
Ejecución 2	0,29	395,00	2,49	4,77	7,51	1705,00
Ejecución 3	0,30	432,00	2,71	4,68	7,39	1694,00
Ejecución 4	0,30	419,00	2,64	4,66	7,48	1687,00
Ejecución 5	0,30	425,00	2,67	4,69	7,42	1702,00
Media	0,29	414,40	2,61	4,71	7,46	1697,00

Tabla 6,5: Resultados obtenidos por el

	Iris				Ec	
	<i>Tasa_C</i>	<i>Tasa_inf</i>	<i>Agr,</i>	<i>T</i>	<i>Tasa_C</i>	<i>Tasa_inf</i>
Ejecución 1	0,30	466,00	2,90	4,85	7,49	1779,00
Ejecución 2	0,29	462,00	2,87	4,98	7,57	1780,00
Ejecución 3	0,29	451,00	2,82	4,71	7,50	1784,00
Ejecución 4	0,29	461,00	2,87	4,96	7,57	1787,00
Ejecución 5	0,30	462,00	2,88	4,96	7,49	1782,00
Media	0,29	460,40	2,87	4,89	7,52	1782,40

Tabla 6,7: Resultados obtenidos por el

	Iris				Ec	
	<i>Tasa_C</i>	<i>Tasa_inf</i>	<i>Agr,</i>	<i>T</i>	<i>Tasa_C</i>	<i>Tasa_inf</i>
Ejecución 1	0,30	458,00	2,86	5,32	7,53	1785,00
Ejecución 2	0,30	464,00	2,89	5,28	7,49	1789,00

Ejecución 3	0,30	461,00	2,87	5,23	7,53	1779,00
Ejecución 4	0,29	460,00	2,87	5,15	7,49	1778,00
Ejecución 5	0,30	469,00	2,92	5,24	7,49	1772,00
Media	0,30	462,40	2,88	5,25	7,51	1780,60

Tabla 6,9: Resultados obtenidos por el

	Iris				Ec	
	<i>Tasa_C</i>	<i>Tasa_inf</i>	<i>Agr,</i>	T	<i>Tasa_C</i>	<i>Tasa_inf</i>
Ejecución 1	0,16	138,00	0,93	5,00	7,58	934,00
Ejecución 2	0,19	136,00	0,96	5,02	7,74	923,00
Ejecución 3	0,17	135,00	0,92	4,66	7,77	977,00
Ejecución 4	0,20	116,00	0,85	4,77	7,25	1035,00
Ejecución 5	0,19	140,00	0,97	4,84	7,17	1045,00
Media	0,18	133,00	0,93	4,86	7,50	982,80

Tabla 6,11: Resultados obtenidos por el

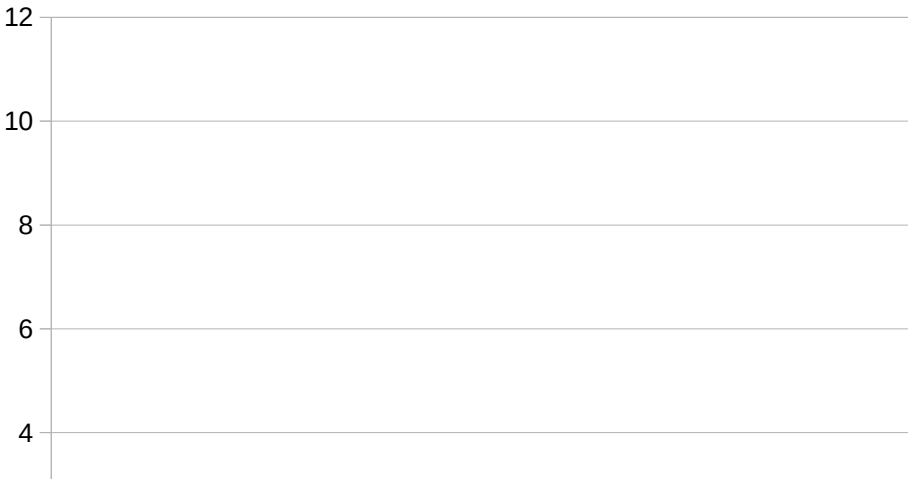
	Iris				Ec	
	<i>Tasa_C</i>	<i>Tasa_inf</i>	<i>Agr,</i>	T	<i>Tasa_C</i>	<i>Tasa_inf</i>
Ejecución 1	0,27	409,00	2,56	5,06	7,43	1597,00
Ejecución 2	0,28	387,00	2,44	5,02	7,44	1644,00
Ejecución 3	0,29	393,00	2,49	5,04	7,36	1548,00
Ejecución 4	0,28	398,00	2,51	5,04	7,36	1593,00
Ejecución 5	0,28	356,00	2,27	5,04	7,45	1649,00
Media	0,28	388,60	2,45	5,04	7,41	1606,20

Tabla 6,13: Resultados obtenidos por el

	Iris				Ec	
	<i>Tasa_C</i>	<i>Tasa_inf</i>	<i>Agr,</i>	T	<i>Tasa_C</i>	<i>Tasa_inf</i>
Ejecución 1	0,17	132,00	0,90	5,09	7,16	1072,00
Ejecución 2	0,19	152,00	1,04	4,89	7,38	1048,00
Ejecución 3	0,18	156,00	1,06	4,87	7,62	1059,00
Ejecución 4	0,17	144,00	0,97	5,18	7,63	929,00
Ejecución 5	0,20	205,00	1,35	4,99	7,46	1157,00
Media	0,18	157,80	1,06	5,00	7,45	1053,00

Tabla 6.15: Resultados globales en el PA

	Iris				Ec	
	Tasa_C	Tasa_inf	Agr.	T	Tasa_C	Tasa_inf
COPKM	0,66	48,60	0,78	0	17,99	535,80
BL	1,72	0,00	1,72	1,02	35,51	49,20
AGG-UN	0,29	460,40	2,87	4,89	7,52	1782,40
AGG-SF	0,3	462,40	2,88	5,25	7,51	1780,60
AGE-UN	0,29	409,60	2,58	4,7	7,48	1701,60
AGE-SF	0,29	414,40	2,61	4,71	7,46	1697,00
AM-(10, 1.0)	0,18	133,00	0,93	4,86	7,5	982,80
AM-(10, 0,1)	0,28	388,60	2,45	5,04	7,41	1606,20
AM-(10, 0,1mej)	0,18	157,80	1,06	5,00	7,45	1053,00





| algoritmo AGE-UN en el PAR con 10% de restricciones

oli		Rand				
<i>Agr.</i>	<i>T</i>	<i>Tasa_C</i>	<i>Tasa_inf</i>	<i>Agr.</i>	<i>T</i>	<i>Tasa_C</i>
50,89	18,34	0,40	412,00	3,02	4,62	2,07
50,32	18,21	0,41	418,00	3,06	4,65	2,02
50,71	18,21	0,40	423,00	3,09	4,61	2,07
50,67	18,57	0,38	402,00	2,94	4,70	2,05
50,24	18,19	0,40	419,00	3,06	4,60	2,05
50,56	18,30	0,40	414,80	3,03	4,64	2,05

| algoritmo AGE-SF en el PAR con 10% de restricciones

oli		Rand				
<i>Agr.</i>	<i>T</i>	<i>Tasa_C</i>	<i>Tasa_inf</i>	<i>Agr.</i>	<i>T</i>	<i>Tasa_C</i>
50,44	18,31	0,40	409,00	3,00	4,61	2,16
50,68	18,30	0,40	421,00	3,07	4,68	2,03
50,28	18,62	0,40	402,00	2,95	4,60	2,01
50,19	18,20	0,39	415,00	3,03	4,71	2,04
50,51	18,30	0,41	425,00	3,10	4,66	2,01
50,42	18,34	0,40	414,40	3,03	4,65	2,05

| algoritmo AGG-UN en el PAR con 10% de restricciones

oli		Rand				
<i>Agr,</i>	<i>T</i>	<i>Tasa_C</i>	<i>Tasa_inf</i>	<i>Agr,</i>	<i>T</i>	<i>Tasa_C</i>
52,54	18,85	0,41	472,00	3,40	4,95	2,04
52,64	18,78	0,40	461,00	3,33	4,72	2,00
52,66	18,66	0,41	462,00	3,34	4,83	2,03
52,81	18,44	0,41	441,00	3,21	4,86	2,04
52,61	18,82	0,40	466,00	3,36	4,60	2,01
52,65	18,71	0,40	460,40	3,33	4,79	2,02

| algoritmo AGG-SF en el PAR con 10% de restricciones

oli		Rand				
<i>Agr,</i>	<i>T</i>	<i>Tasa_C</i>	<i>Tasa_inf</i>	<i>Agr,</i>	<i>T</i>	<i>Tasa_C</i>
52,72	20,01	0,40	473,00	3,41	5,26	2,03
52,79	20,25	0,41	466,00	3,37	5,30	2,03

52,57	19,91	0,40	468,00	3,37	5,23	2,01
52,51	20,03	0,41	452,00	3,28	5,29	2,01
52,36	19,90	0,40	467,00	3,37	5,31	2,03
52,59	20,02	0,41	465,20	3,36	5,28	2,02

el algoritmo AM-(10, 1,0) en el PAR con 10% de restricciones

oli		Rand				
<i>Agr,</i>	<i>T</i>	<i>Tasa_C</i>	<i>Tasa_inf</i>	<i>Agr,</i>	<i>T</i>	<i>Tasa_C</i>
31,23	18,50	0,22	113,00	0,94	4,91	2,67
31,11	18,74	0,22	116,00	0,96	4,80	2,69
32,51	18,88	0,24	139,00	1,12	4,83	2,60
33,45	18,83	0,22	121,00	0,98	4,81	2,66
33,63	18,70	0,23	130,00	1,06	4,85	2,70
32,39	18,73	0,23	123,80	1,01	4,84	2,67

el algoritmo AM-(10, 0,1) en el PAR con 10% de restricciones

oli		Rand				
<i>Agr,</i>	<i>T</i>	<i>Tasa_C</i>	<i>Tasa_inf</i>	<i>Agr,</i>	<i>T</i>	<i>Tasa_C</i>
47,86	19,32	0,40	402,00	2,95	4,93	2,17
49,06	19,41	0,39	415,00	3,03	4,89	2,11
46,55	19,34	0,39	405,00	2,96	4,79	2,25
47,69	19,34	0,37	373,00	2,74	5,04	2,22
49,20	19,19	0,38	404,00	2,95	5,11	2,09
48,07	19,32	0,39	399,80	2,93	4,95	2,17

el algoritmo AM-(10, 0,1mej) en el PAR con 10% de restricciones

oli		Rand				
<i>Agr,</i>	<i>T</i>	<i>Tasa_C</i>	<i>Tasa_inf</i>	<i>Agr,</i>	<i>T</i>	<i>Tasa_C</i>
34,30	19,11	0,26	163,00	1,29	5,06	2,60
33,91	19,30	0,25	177,00	1,38	5,06	2,54
34,43	19,16	0,25	136,00	1,11	5,02	2,60
31,15	19,72	0,26	186,00	1,44	5,09	2,54
36,75	19,39	0,23	122,00	1,01	5,09	2,63
34,11	19,33	0,25	156,80	1,25	5,06	2,58

.R con 10% de restricciones

oli		Rand				
<i>Agr.</i>	<i>T</i>	<i>Tasa_C</i>	<i>Tasa_inf</i>	<i>Agr.</i>	<i>T</i>	<i>Tasa_C</i>
25,55	0,01	0,55	0,00	0,55	0,01	
36,16	207,36	1,40	0,00	1,40	207,36	
52,65	18,71	0,4	460,40	3,33	4,79	2,02
52,59	20,02	0,41	465,20	3,36	5,28	2,02
50,56	18,3	0,4	414,80	3,03	4,64	2,05
50,42	18,34	0,4	414,40	3,03	4,65	2,05
32,39	18,73	0,23	123,80	1,01	4,84	2,67
48,07	19,32	0,39	399,80	2,93	4,95	2,17
34,11	19,33	0,25	156,80	1,25	5,06	2,58



Newthyroid		
<i>Tasa_inf</i>	<i>Agr.</i>	T
1019,00	36,15	8,24
1064,00	37,61	8,27
1058,00	37,45	8,34
1057,00	37,40	8,25
1077,00	38,07	8,25
1055,00	37,34	8,27

		<i>Tasa_C</i>
49137372	Ejecución 1	0,28
491373	Ejecución 2	0,30
4913	Ejecución 3	0,30
49	Ejecución 4	0,28
100	Ejecución 5	0,29
Media		0,29

Newthyroid		
<i>Tasa_inf</i>	<i>Agr.</i>	T
1019,00	36,24	8,29
1058,00	37,41	8,25
1045,00	36,96	8,38
1055,00	37,33	8,30
1064,00	37,60	8,27
1048,20	37,11	8,30

		<i>Tasa_C</i>
	Ejecución 1	0,29
	Ejecución 2	0,28
	Ejecución 3	0,29
	Ejecución 4	0,29
	Ejecución 5	0,29
Media		0,29

Newthyroid		
<i>Tasa_inf</i>	<i>Agr,</i>	T
1126,00	39,70	8,47
1124,00	39,59	8,64
1128,00	39,76	8,75
1129,00	39,80	8,53
1117,00	39,37	8,83
1124,80	39,64	8,65

		<i>Tasa_C</i>
	Ejecución 1	0,30
	Ejecución 2	0,30
	Ejecución 3	0,30
	Ejecución 4	0,30
	Ejecución 5	0,30
Media		0,30

Newthyroid		
<i>Tasa_inf</i>	<i>Agr,</i>	T
1128,00	39,75	9,24
1117,00	39,39	9,04

		<i>Tasa_C</i>
	Ejecución 1	0,30
	Ejecución 2	0,30

1125,00	39,64	9,14
1134,00	39,93	9,25
1110,00	39,16	9,26
1122,80	39,57	9,19

Ejecución 3	0,30
Ejecución 4	0,29
Ejecución 5	0,29
Media	0,29

Newthyroid		
<i>Tasa_inf</i>	<i>Agr,</i>	T
383,00	15,48	8,42
320,00	13,39	8,46
356,00	14,51	8,63
258,00	11,29	8,60
342,00	14,14	8,61
331,80	13,76	8,55

	<i>Tasa_C</i>
Ejecución 1	0,18
Ejecución 2	0,18
Ejecución 3	0,18
Ejecución 4	0,18
Ejecución 5	0,19
Media	0,18

Newthyroid		
<i>Tasa_inf</i>	<i>Agr,</i>	T
904,00	32,40	8,93
930,00	33,21	8,79
889,00	31,99	8,81
924,00	33,12	8,74
949,00	33,82	8,68
919,20	32,91	8,79

	<i>Tasa_C</i>
Ejecución 1	0,28
Ejecución 2	0,29
Ejecución 3	0,26
Ejecución 4	0,24
Ejecución 5	0,27
Media	0,27

Newthyroid		
<i>Tasa_inf</i>	<i>Agr,</i>	T
299,00	12,60	8,78
373,00	15,02	8,81
366,00	14,84	8,84
516,00	19,80	8,86
447,00	17,58	8,75
400,20	15,97	8,81

	<i>Tasa_C</i>
Ejecución 1	0,19
Ejecución 2	0,23
Ejecución 3	0,18
Ejecución 4	0,19
Ejecución 5	0,20
Media	0,20

Newthyroid		
<i>Tasa_inf</i>	<i>Agr.</i>	T
1124,80	39,64	8,65
1122,80	39,57	9,19
1055,00	37,34	8,27
1048,20	37,11	8,3
331,80	13,76	8,55
919,20	32,91	8,79
400,20	15,97	8,81

	<i>Tasa_C</i>
COPKM	0,64
BL	1,79
AGG-UN	0,3
AGG-SF	0,29
AGE-UN	0,29
AGE-SF	0,29
AM-(10, 1.0)	0,18
AM-(10, 0,1)	0,27
AM-(10, 0,1mej)	0,20

Tabla 6.2: Resultados obtenidos por el algoritmo AGE-UN en e

Iris			Ecoli			
<i>Tasa_inf</i>	<i>Agr,</i>	<i>T</i>	<i>Tasa_C</i>	<i>Tasa_inf</i>	<i>Agr,</i>	<i>T</i>
854,00	2,82	5,73	7,45	3461,00	52,53	24,14
888,00	2,94	5,80	7,51	3414,00	51,98	24,23
852,00	2,83	5,80	7,45	3454,00	52,44	24,45
830,00	2,75	5,86	7,49	3444,00	52,35	24,22
869,00	2,87	5,85	7,45	3466,00	52,59	24,77
858,60	2,84	5,81	7,47	3447,80	52,38	24,36

Tabla 6,4: Resultados obtenidos por el algoritmo AGE-SF en el

Iris			Ecoli			
<i>Tasa_inf</i>	<i>Agr,</i>	<i>T</i>	<i>Tasa_C</i>	<i>Tasa_inf</i>	<i>Agr,</i>	<i>T</i>
871,00	2,88	5,73	7,50	3448,00	52,41	24,27
831,00	2,75	5,80	7,45	3419,00	51,99	24,40
842,00	2,79	5,73	7,44	3432,00	52,15	24,20
850,00	2,82	5,68	7,55	3437,00	52,32	24,53
835,00	2,77	5,60	7,47	3455,00	52,47	24,44
845,80	2,80	5,71	7,48	3438,20	52,27	24,37

Tabla 6,6: Resultados obtenidos por el algoritmo AGG-UN en e

Iris			Ecoli			
<i>Tasa_inf</i>	<i>Agr,</i>	<i>T</i>	<i>Tasa_C</i>	<i>Tasa_inf</i>	<i>Agr,</i>	<i>T</i>
933,00	3,07	5,75	7,50	3556,00	53,82	24,75
929,00	3,06	5,93	7,48	3550,00	53,73	24,69
946,00	3,11	5,97	7,44	3587,00	54,16	24,45
942,00	3,10	6,03	7,46	3577,00	54,05	24,49
952,00	3,13	5,74	7,55	3569,00	54,04	24,48
940,40	3,09	5,88	7,49	3567,80	53,96	24,57

Tabla 6,8: Resultados obtenidos por el algoritmo AGG-SF en el

Iris			Ecoli			
<i>Tasa_inf</i>	<i>Agr,</i>	<i>T</i>	<i>Tasa_C</i>	<i>Tasa_inf</i>	<i>Agr,</i>	<i>T</i>
942,00	3,09	6,13	7,48	3553,00	53,77	25,89
941,00	3,09	6,37	7,43	3548,00	53,64	25,94

935,00	3,07	6,32	7,48	3568,00	53,95	26,15
931,00	3,06	6,33	7,48	3563,00	53,89	25,90
935,00	3,07	6,27	7,52	3593,00	54,32	25,94
936,80	3,08	6,28	7,48	3565,00	53,92	25,96

Tabla 6,10: Resultados obtenidos por el algoritmo AM-(10, 1,0)

Iris			Ecoli			
<i>Tasa_inf</i>	<i>Agr,</i>	T	<i>Tasa_C</i>	<i>Tasa_inf</i>	<i>Agr,</i>	T
283,00	1,02	6,10	7,71	1855,00	31,87	24,71
247,00	0,92	6,00	7,80	1868,00	32,14	24,64
255,00	0,94	6,03	7,47	1843,00	31,48	24,64
312,00	1,10	6,03	7,51	1791,00	30,84	24,59
263,00	0,98	5,97	7,70	1883,00	32,23	24,59
272,00	0,99	6,03	7,64	1848,00	31,71	24,64

Tabla 6,12: Resultados obtenidos por el algoritmo AM-(10, 0,1)

Iris			Ecoli			
<i>Tasa_inf</i>	<i>Agr,</i>	T	<i>Tasa_C</i>	<i>Tasa_inf</i>	<i>Agr,</i>	T
813,00	2,70	6,25	7,28	3288,00	50,11	25,16
818,00	2,72	6,11	7,46	3150,00	48,49	25,27
775,00	2,57	6,17	7,33	3229,00	49,39	25,23
674,00	2,25	6,16	7,29	3228,00	49,33	25,37
853,00	2,81	6,10	7,47	3313,00	50,62	25,21
786,60	2,61	6,16	7,36	3241,60	49,59	25,25

Tabla 6,14: Resultados obtenidos por el algoritmo AM-(10, 0,1r

Iris			Ecoli			
<i>Tasa_inf</i>	<i>Agr,</i>	T	<i>Tasa_C</i>	<i>Tasa_inf</i>	<i>Agr,</i>	T
309,00	1,11	6,17	7,42	1949,00	32,81	25,14
441,00	1,54	6,26	7,44	2070,00	34,41	25,28
346,00	1,21	6,19	2,37	2044,00	34,10	25,25
379,00	1,32	6,09	7,58	1867,00	31,90	25,19
438,00	1,51	5,97	7,44	1903,00	32,23	25,46
382,60	1,34	6,13	6,45	1966,60	33,09	25,26

Tabla 6.16: Resultados globales en el PAR con 20% de restriccion

Iris			Ecoli			
<i>Tasa_inf</i>	<i>Agr.</i>	T	<i>Tasa_C</i>	<i>Tasa_inf</i>	<i>Agr.</i>	T
0,00	0,64	0	20,33	327,00	22,65	0,01
0,00	1,79	1,53	35,66	18,00	35,78	290,84
940,40	3,09	5,88	7,49	3567,80	53,96	24,57
936,80	3,08	6,28	7,48	3565,00	53,92	25,96
858,60	2,84	5,81	7,47	3447,80	52,38	24,36
845,80	2,80	5,71	7,48	3438,20	52,27	24,37
272,00	0,99	6,03	7,64	1848,00	31,71	24,64
786,60	2,61	6,16	7,36	3241,60	49,59	25,25
382,60	1,34	6,13	6,45	1966,60	33,09	25,26

l PAR con 20% de restricciones

Rand				Newthyroid		
<i>Tasa_C</i>	<i>Tasa_inf</i>	<i>Agr,</i>	<i>T</i>	<i>Tasa_C</i>	<i>Tasa_inf</i>	<i>Agr,</i>
0,39	831,00	3,19	5,52	2,03	2136,00	39,33
0,40	856,00	3,28	5,43	2,00	2188,00	40,22
0,40	839,00	3,23	5,76	1,98	2087,00	38,43
0,39	820,00	3,15	5,61	2,09	2000,00	37,02
0,40	875,00	3,35	5,48	2,02	2168,00	39,88
0,40	844,20	3,24	5,56	2,02	2115,80	38,98

PAR con 20% de restricciones

Rand				Newthyroid		
<i>Tasa_C</i>	<i>Tasa_inf</i>	<i>Agr,</i>	<i>T</i>	<i>Tasa_C</i>	<i>Tasa_inf</i>	<i>Agr,</i>
0,38	844,00	3,23	5,89	1,99	2180,00	40,07
0,39	824,00	3,17	5,43	2,03	2035,00	37,58
0,38	821,00	3,14	5,74	2,04	2133,00	39,30
0,39	833,00	3,20	5,68	2,05	2131,00	39,27
0,40	867,00	3,32	5,79	2,02	2119,00	39,03
0,39	837,80	3,21	5,71	2,03	2119,60	39,05

l PAR con 20% de restricciones

Rand				Newthyroid		
<i>Tasa_C</i>	<i>Tasa_inf</i>	<i>Agr,</i>	<i>T</i>	<i>Tasa_C</i>	<i>Tasa_inf</i>	<i>Agr,</i>
0,41	955,00	3,63	6,08	2,04	2252,00	41,38
0,40	943,00	3,59	5,73	2,07	2272,00	41,75
398,00	940,00	3,57	5,97	2,02	2297,00	42,14
0,41	920,00	3,51	5,76	2,08	2253,00	41,43
0,40	938,00	3,57	5,90	2,01	2258,00	41,45
79,92	939,20	3,57	5,89	2,05	2266,40	41,63

PAR con 20% de restricciones

Rand				Newthyroid		
<i>Tasa_C</i>	<i>Tasa_inf</i>	<i>Agr,</i>	<i>T</i>	<i>Tasa_C</i>	<i>Tasa_inf</i>	<i>Agr,</i>
0,40	950,00	3,61	6,43	2,02	2268,00	41,63
0,40	943,00	3,59	6,00	2,07	2264,00	41,61

0,41	922,00	3,52	6,30	2,04	2263,00	41,57
0,40	940,00	3,57	6,33	2,01	2292,00	42,04
0,40	946,00	3,59	6,33	2,04	2244,00	41,24
0,40	940,20	3,57	6,28	2,04	2266,20	41,62

en el PAR con 20% de restricciones

Rand				Newthyroid		
<i>Tasa_C</i>	<i>Tasa_inf</i>	<i>Agr,</i>	<i>T</i>	<i>Tasa_C</i>	<i>Tasa_inf</i>	<i>Agr,</i>
0,24	247,00	1,07	5,83	2,55	756,00	15,75
0,25	324,00	1,35	5,97	2,49	669,00	14,18
0,23	260,00	1,11	5,86	2,43	636,00	13,54
0,23	267,00	1,13	6,24	2,49	567,00	12,40
0,21	244,00	1,04	5,93	2,54	712,00	14,98
0,23	268,40	1,14	5,97	2,50	668,00	14,17

en el PAR con 20% de restricciones

Rand				Newthyroid		
<i>Tasa_C</i>	<i>Tasa_inf</i>	<i>Agr,</i>	<i>T</i>	<i>Tasa_C</i>	<i>Tasa_inf</i>	<i>Agr,</i>
0,39	782,00	3,02	6,08	2,12	1948,00	36,14
0,38	843,00	3,23	6,03	2,11	1899,00	35,28
0,37	790,00	3,03	6,07	2,17	1718,00	32,18
0,37	772,00	2,98	6,10	2,28	1789,00	33,53
0,37	792,00	3,04	6,14	2,28	1884,00	35,19
0,38	795,80	3,06	6,08	2,19	1847,60	34,46

nej) en el PAR con 20% de restricciones

Rand				Newthyroid		
<i>Tasa_C</i>	<i>Tasa_inf</i>	<i>Agr,</i>	<i>T</i>	<i>Tasa_C</i>	<i>Tasa_inf</i>	<i>Agr,</i>
0,29	453,00	1,81	6,26	2,57	846,00	17,35
0,25	323,00	1,34	5,99	2,61	776,00	16,17
0,27	370,00	1,52	6,23	2,37	899,00	18,08
0,28	406,00	1,65	6,09	2,43	932,00	18,71
0,28	406,00	1,65	5,89	2,46	829,00	16,93
0,27	391,60	1,59	6,09	2,49	856,40	17,45

es

Rand				Newthyroid		
<i>Tasa_C</i>	<i>Tasa_inf</i>	<i>Agr.</i>	T	<i>Tasa_C</i>	<i>Tasa_inf</i>	<i>Agr.</i>
0,55	0,00	0,55	0			
1,40	0,00	1,40	1,39			
79,92	939,20	3,57	5,89	2,05	2266,40	41,63
0,4	940,20	3,57	6,28	2,04	2266,20	41,62
0,4	844,20	3,24	5,56	2,02	2115,80	38,98
0,39	837,80	3,21	5,71	2,03	2119,60	39,05
0,23	268,40	1,14	5,97	2,5	668,00	14,17
0,38	795,80	3,06	6,08	2,19	1847,60	34,46
0,27	391,60	1,59	6,09	2,49	856,40	17,45

T
10,88
10,89
10,88
10,89
10,94
10,90

T
10,78
11,00
10,81
10,81
10,80
10,84

T
11,01
11,12
11,11
11,19
11,08
11,10

T
11,84
11,60

11,58
11,58
11,54
11,63

T
10,94
11,01
11,00
10,97
10,99
10,98

T
11,33
11,29
11,26
11,35
11,17
11,28

T
11,49
11,41
11,36
11,26
11,39
11,38

T
11,1
11,63
10,9
10,84
10,98
11,28
11,38